

بهبود کارایی یک مدل منطق فازی در پیش‌بینی شاخص خسارت لرزه‌یی با استفاده از یک الگوریتم بهینه‌سازی از دحام ذرات مبتنی بر جست‌وجوی تطبیقی هدایت شده

امید زریافیان (دانشجوی دکتری)

توحید پورستم* (استادیار)

گروه مدیریت ساخت، دانشکده مهندسی عمران، واحد تهران مرکزی، دانشگاه آزاد اسلامی، تهران، ایران

مهدی فضیلتی (استادیار)

گروه مدیریت ساخت، دانشکده مهندسی عمران، واحد نجف آباد، دانشگاه آزاد اسلامی، اصفهان، ایران

عبدالرضا سروقد مقدم (دانشیار)

پژوهشگاه بین‌المللی زلزله‌شناسی و مهندسی زلزله، تهران، ایران

علی گلصوრت پهلویانی (استادیار)

گروه مدیریت ساخت، دانشکده مهندسی عمران، واحد تهران مرکزی، دانشگاه آزاد اسلامی، تهران، ایران

عملیات غربالگری سریع بصری (RVS)، ساده‌ترین و سریع‌ترین روش برای بررسی آسیب‌های لرزه‌یی یک ساختمان است. به دلیل وجود عدم قطعیت در ساختار RVS، از یک مدل منطق فازی به منظور ارزیابی آسیب‌پذیری لرزه‌یی در نوشتار حاضر استفاده شده است. به منظور آموزش مدل فازی نیز از یک الگوریتم اخیر پیشنهاد شده‌ی بهینه‌سازی از دحام ذرات مبتنی بر جست‌وجوی تطبیقی هدایت شده (GuASPSO)، استفاده و نتایج ناشی از آن با الگوریتم‌های PSO و گرگ خاکستری (GWO) مقایسه شده است. از زلزله‌ی سال ۱۳۹۶ سرپل ذهاب ایران نیز به عنوان یک مطالعه‌ی موردی استفاده شده است. نتایج نشان می‌دهند که مدل فازی آموزش‌دیده با الگوریتم GuASPSO به ترتیب ۷۸ و ۶۷٪ درصد از معیارهای کارایی در سه مرحله‌ی آموزش، اعتبارسنجی و در کل مجموعه‌ی داده‌های ورودی، عملکرد مناسب‌تری را در مقایسه با دو الگوریتم دیگر از خود نشان می‌دهند. همچنین مدل فازی بهبودیافته، عملکرد بهتری در پیش‌بینی خسارت لرزه‌یی دارد.

۱. مقدمه

موجود است که با آین‌نامه‌های قدیمی طراحی و اجرا شده‌اند، یا ضوابط آین‌نامه‌یی به دلایل مختلف برای آن‌ها استفاده نشده است. بدینهی است که بهسازی تمام سازه‌های آسیب‌پذیر از نقطه نظر لرزه‌یی مقرر به صرفه نیست.^[۱] بنا بر این، شناخت سطح خطر آسیب‌پذیری لرزه‌یی و اولویت‌بندی ساختمان‌ها در جهت مقاوم سازی آن‌ها می‌تواند کمک مؤثری در کاهش آثار مخرب زمین‌لرزه‌ها باشد. روش‌های متعددی برای ارزیابی آسیب‌پذیری لرزه‌یی سازه‌ها موجودند که با درجه‌های مختلفی از پیچیدگی توسعه یافته‌اند. روش‌های مذکور می‌توانند از یک رتبه‌بندی ساده تا

تجربیات حاصل از عملکرد ساختمان‌ها در زلزله‌های پیشین که موجب پیشرفت‌های چشمگیری در تحلیل آسیب‌پذیری لرزه‌یی ساختمان‌ها شده است، به همراه طراحی لرزه‌یی براساس آین‌نامه‌های جدید موجب کاهش خسارت‌های لرزه‌یی در ساختمان‌های نوساز شده است. با این حال، هر منطقه از جهان دارای اینوی از ساختمان‌های

* نویسنده مسئول

تاریخ: دریافت ۱۵/۶/۱۴۰۱، اصلاحیه ۱/۱/۱۴۰۱، پذیرش ۱۸/۱/۱۴۰۱.

DOI:10.24200/J30.2022.61047.3142

لرزه بی بهره برده اند.^[۱] در رویکرد آن ها، ریسک لرزه بی و آسیب پذیری ساختمان در یک چارچوب سلسه مراتبی تحلیل می شود، تا یک مدل مبتنی بر منطق فازی برای پیش بینی خسارت لرزه بی ایجاد کند. آن ها رویکرد خود را با استفاده از داده های زلزله ای نورث ریج^۶ (۱۹۹۴) اعتبارسنجی کرده اند.

به رغم آنکه منطق فازی از نظر تئوری قادر به مدیریت عدم قطعیت در روش RVS است، اما عملیاً این امر مستلزم تنظیم دقیق پارامترهای داخلی^۷ مدلی است که در ساختار خود از داده های ناشی از روش RVS سود می برد. میزان بهینه گی پارامترهای داخلی مدلی مانند یک سیستم استنتاج فازی، می تواند تأثیر قابل ملاحظه بی در دقت پیش بینی مدل ذکر شده داشته باشد. در مطالعه ای حاضر، از یک الگوریتم بهینه سازی نوین از دحام ذرات مبتنی بر جست و جوی تطبیقی هدایت شده (GuASPSO)^[۸] به منظور آموزش مدل اصلی تسفاماریام و ساعتچی اوغلو^[۹] است. در اینجا از الگوریتم بهینه سازی گرگ خاکستری (GWO)^[۱۰] آموزش دیده است، مقایسه شده است.

۲. مواد و روش ها

۱.۱. الگوریتم بهینه سازی از دحام ذرات جست و جوی تطبیقی هدایت شده (GuASPSO)

الگوریتم بهینه سازی از دحام ذرات جست و جوی تطبیقی هدایت شده (GuASPSO) که نخستین بار توسط رضانی و صفوی^[۱۱] (۲۰۲۰)، ارائه شده است، نسخه جدیدی از الگوریتم بهینه سازی از دحام ذرات (PSO) است که نخستین بار توسط کندی و ابرهارت^[۱۲] (۱۹۹۵) پیشنهاد شده است. در پیش حاضر، ابتدا شکل کلی یک مسئله بهینه سازی که توسط الگوریتم PSO قابل حل است، تشریح شده است. فرض کنید یک مسئله بهینه سازی D بعده موجود باشد که ذرات جست و جوی الگوریتم PSO^[۱۳] سعی در جست و جوی جواب بهینه و در نتیجه، حل آن دارند و فرض کنید که $X_i = (X_{i1}, X_{i2}, \dots, X_{iD})$ بردار موقعیت ذره i نام و $V_i = (v_{i1}, v_{i2}, \dots, v_{iD})$ بردار سرعت ذره i نام از مجموعه ذرات باشد. اگر $P_{best}^t = (p_{i1}, p_{i2}, \dots, p_{iD})$ موقعیت بهترین ذره i تاکنون یافت شده ای نفرادی t_a و $G_{best}^t = (p_{g1}, p_{g2}, \dots, p_{gD})$ موقعیت بهترین ذره i تاکنون یافت شده در میان کل ذرات باشد، سرعت و موقعیت هر ذره در الگوریتم PSO مطابق روابط ۱ و ۲ به روی رسانی می شوند:

$$V_i^{t+1} = w V_i^t + c_1 r_1 (P_{best}^t - X_i^t) + c_2 r_2 (G_{best}^t - X_i^t) \quad (1)$$

$$X_i^{t+1} = X_i^t + V_i^{t+1} \quad (2)$$

که در آنها، $i \in \{1, 2, \dots, N\}$ اندازه ای جمعیت ذرات و D تعداد ابعاد فضای جست و جوی مسئله بهینه سازی است. همچنین w وزن اینرسی، r_1 و r_2 دو بردار شامل اعداد تصادفی تولیدی در بازه $[0, 1]$ و c_1 و c_2 به ترتیب ضرایب مقیاس بندی شناختی و اجتماعی هستند. رابطه ۳، شکل مؤثر رابطه ۱ است که به آن مدل ضریب انقباضی نیز گفته می شود.

$$V_i^{t+1} = \chi [V_i^t + \phi_1 (P_{best}^t - X_i^t) + \phi_2 (G_{best}^t - X_i^t)] \quad (3)$$

روش های پیچیده تر، نظریه تحلیل های دینامیکی غیرخطی سازه ها متغیر باشند.^[۱۴] با این حال، روش است که استفاده از روش های ساده و سریع برای تعداد زیادی از ساختمان ها در مرحله مقدماتی، مقدم بر روش های پیچیده تر خواهد بود.

روش RVS^۸ از یک بازرسی سریع بصری (چشمی) توسط یک غربالگر با تجربه از طریق بررسی بیرونی ساختمان بدون هیچگونه محاسبات سازه بی بهره می گیرد. هدف اصلی RVS، ارزیابی آسیب پذیری لرزه بی یک ساختمان به صورت سریع و اقتصادی و ارائه یک رتبه ای یعنی برای آن است. بدینهای است، نتایج ارزیابی RVS به دلیل سرعت و سادگی فرایند آسیب پذیری لرزه بی، تقریبی است و چه بسا یک ساختمان نیاز به بررسی های دیگری داشته باشد که بسیار پیچیده تر و زمان برتر هستند و حتی محاسبات سازه بی را نیز شامل می شوند.^[۱۵] اگر از RVS فرمایم^[۱۶] در ایالات متحده که یکی از معترضترین دستورالعمل های RVS است، پارامترهای مختلفی، مانند: تعداد طبقات، قدامت ساخت، آینه نامه ای لرزه بی استفاده شده، نقایص سازه بی و غیره را که در رفتار لرزه بی ساختمان ها تأثیر می گذارد، در نظر می گیرد. تجربه ای زلزله های گذشته نشان می دهد نقایص سازه بی (نتیجه: نامنظمی در پلان، نامنظمی در ارتفاع، و غیره) می توانند آسیب پذیری لرزه بی ساختمان ها را افزایش دهند.

حریرچیان^۹ و همکاران^{۱۰} (۲۰۲۰ و ۲۰۲۱) بررسی جامعی در زمینه^{۱۱} روش های ارزیابی آسیب پذیری لرزه بی انجام داده اند. روش های اخیر را می توان به سه دسته تقسیم کرد: ۱. مدل های تبریزی و آماری، ۲. مدل های مهندسی تحلیلی و ۳. مدل های ابتکاری. در سناریوهای مشخصی، از ترکیبی از مدل های ذکر شده نیز می توان استفاده کرد.^[۱۲] روش RVS یک روش تجربی است که از ماهیت ساده و سریع خود در عین غیرقطعی بودن، بهره می برد. روش های متعددی برای لحاظ کردن عدم قطعیت های ذاتی روش RVS با بهره گیری از مدل های ابتکاری و محاسبات نرم پیشنهاد شده اند.^[۱۳] مدل های آماری و مدل های مهندسی تحلیلی، هر یک محدودیت های جدی خود را دارند،^[۱۴] بنابراین استفاده از مدل های ابتکاری اجتناب ناپذیر است. از جمله روش های ابتکاری می توان به روش های ابتکاری مبتنی بر قواعد،^[۱۵] سیستم های استنتاج فازی برای شبیه سازی عرضه های پل های بتن مسلح،^[۱۶] روش های مبتنی بر منطق فازی برای ساختمان های پیشی^[۱۷] مدل سازی منطق فازی نظرات شده،^[۱۸] مدل منطق فازی آموزش دیده توسط الگوریتم زنگیک برای ساختمان ها،^[۱۹] شبکه های عصبی مصنوعی،^[۲۰] و غیره اشاره کرد.

چنانکه پیشتر نیز بیان شده است، داده های جمع آوری شده در روش های RVS، به اندازه ای کافی دقیق نیستند و به دلیل تکیه بر بازرسی های چشمی توسط انسان، مبتنی بر اعمال سلیقه و نظر شخص بازرس مذکور می تواند منجر به بور طبیعی عدم قطعیت^{۱۱} در تحلیل ها شود که به نوبه خود ممکن است قدرت پیش بینی مدل هایی که از روش های ذکر شده استفاده می کنند، را کاهش دهد. یک رویکرد برای لحاظ کردن کامل این عدم قطعیت و در نتیجه کاهش تأثیر آن در پیش بینی غیر دقیق مدل های مذکور، استفاده از منطق فازی است.^[۲۲] منطق فازی با فراهم ساختن چارچوبی جهت ملاحظه ساختن قطعیت های موجود در روش RVS، نقش بسیاری در بالاتر بردن دقت نتایج اینها^[۲۳] می کند.

تسفارمایام و ساعتچی اوغلو^{۲۰۰۸}، از RVS در چارچوب یک مدل منطق فازی جهت ارزیابی ریسک موجود در تعیین مقدار کمی شاخص آسیب پذیری لرزه بی و توسعه ای روش رتبه بندی ساختمان های بتن مسلح به لحاظ خسارت پذیری

که در آن، $W_i(t)$ بردار وزن نرون η در تکرار t و $(1 + W_i(t))$ در تکرار $t+1$ است. همچنین $\eta(t)$ نزخ یادگیری متغیر با زمان (تکرار) است و در اینجا فرض شده است که به طور یکنواخت در طول تکرارها کاهش یابد. رابطه‌ی محاسبه‌ی نزخ یادگیری در رابطه‌ی ۹ ارائه شده است:

$$\eta(t) = \eta(0) \exp\left(\frac{-t}{\tau_1}\right) \quad (9)$$

که در آن، $\eta(0)$ معمولاً برابر $1/0$ فرض می‌شود و τ_1 برابر بیشینه‌ی تعداد تکرارهای SOM است که در الگوریتم GuASPSO مساوی با 4 برابر تعداد بردارهای ورودی به شبکه یا همان تعداد ذرات $Pbest$ در نظر گرفته شده است. روشن است که تعداد ذرات $Pbest$ نیز برابر اندازه‌ی جمعیت الگوریتم GuASPSO است. بنابراین SOM ذرات $Pbest$ را به تعداد متغیری از کلاسترها تقسیم می‌کند که از طریق رابطه‌ی 10 محاسبه می‌شود:

$$N_{cluster}(t) = Round\left(N - (N - 2) \times \left(\frac{t - 1}{t_{max} - 1}\right)\right) \quad (10)$$

که در آن، t_{max} بیشینه‌ی تعداد تکرارهای الگوریتم GuASPSO است. سپس معکوس تعداد ذرات $Pbest$ که در هر کلاستر فعل (هر کلاستر دارای حداقل یک ذره) است $Pbest$ (قرار گرفته‌اند، محاسبه و به عنوان وزن هر کلاستر که میزان سهم آن کلاستر را در هدایت ذرات مختلف در فضای جستجو مشخص می‌کند، در نظر گرفته می‌شود. رابطه‌ی 11 ، نحوه‌ی محاسبه‌ی ذره راهنمای سراسری منحصر به فرد هر ذره را نشان می‌دهد.

$$Gbest_i^t = \frac{\sum_{j=1}^{N_{cluster}(t)} W_j^t \times Cbest_j^t}{\sum_{j=1, j \neq c(i)}^{N_{cluster}(t)} W_j^t} \quad (11)$$

که در آن، $Gbest_i^t$ ذره‌ی بهینه‌ی سراسری متناظر با ذره‌ی η در تکرار t ، وزن محاسبه شده برای کلاستر زام در تکرار t ، $Cbest_j^t$ بهترین ذره (بهینه‌ی سراسری در کلاستر زام در تکرار t) کلاستری است که نامین ذره $Pbest$ در آن قرار گرفته است. در این صورت با تبدیل ذره‌ی بهینه‌ی سراسری عمومی $Gbest^t$ به ذره‌ی بهینه‌ی سراسری منحصر به هر ذره با عنوان $Gbest_i^t$ در الگوریتم GuASPSO، رابطه‌ی 3 در الگوریتم PSO به رابطه‌ی 12 در الگوریتم پیشنهادی GuASPSO تبدیل می‌شود. خاطر نشان می‌شود که سایر محاسبات، روابط به روزرسانی و سایر تنظیمات پارامترهای الگوریتم GuASPSO دقیقاً مشابه همین موارد در الگوریتم استاندارد و اصلی PSO هستند.

$$V_i^{t+1} = \chi[V_i^t + \varphi_1(Pbest_i^t - X_i^t) + \varphi_2(Gbest_i^t - X_i^t)] \quad (12)$$

در الگوریتم GuASPSO، تعداد کلاسترها در تکرارهای اولیه‌ی الگوریتم زیاد است، به گونه‌ی که میزان برازنده‌ی (تابع هدف) ذرات $Cbest$ ضریب تأثیرگذاری در هدایت ذرات در فضای جستجو می‌یابد و در عوض تنوع ذرات مذکور، ضریب تأثیر بالاتری دارد. به مرور تعداد کلاسترها کمتر می‌شوند و ذرات $Pbest$ دارای برازنده‌ی نامناسب، ولی به شدت مشابه یکدیگر، در کلاستر یکسانی جمع می‌شوند. در نتیجه، ضریب تأثیر شاخص تنوع ذرات، کمتر و ضریب تأثیر شاخص برازنده‌ی، به مراتب بیشتر می‌شود. این فرایند می‌تواند به برقراری یک تعادل بسیار مناسب میان مراحل اکتشاف و استخراج کمک شایانی کند. نحوه‌ی کمک به برقراری این تعادل

$$\chi = \frac{2k}{|2 - \varphi - \sqrt{\varphi(\varphi - 4)}|}; \varphi = \varphi_1 + \varphi_2; \\ \varphi_1 = c_1 r_1; \varphi_2 = c_2 r_2 \quad (4)$$

که در آن، χ ضریب انقباض 13 نامیده می‌شود. پارامتر k در رابطه‌ی 4 که همواره در محدوده‌ی $[1, 5]$ مقداردهی می‌شود، گذار الگوریتم PSO از مرحله‌ی اکتشاف 14 به مرحله‌ی استخراج 15 را کنترل می‌کند و براساس رابطه‌ی 5 در هر تکرار از تکرارهای الگوریتم محاسبه می‌شود:

$$k = k_{max} - \frac{k_{max} - k_{min}}{t_{max}} \times t \quad (5)$$

که در آن، k_{min} و k_{max} ثابت‌هایی هستند که معمولاً به ترتیب برابر $9/4$ و $4/0$ در نظر گرفته می‌شوند. همچنین t شماره‌ی تکرار جاری الگوریتم و t_{max} بیشینه‌ی تعداد تکرارهای الگوریتم است. الگوریتم GuASPSO سعی در تغییر سازوکار مرسوم موجود در الگوریتم PSO دارد، به گونه‌ی که تنوع در میان جواب‌های حاصل در هر تکرار از الگوریتم به طرز بهتر و مؤثرتری حفظ شود. در GuASPSO از نوع خاصی از شبکه‌های عصبی با عنوان نگاشت خودسازمان (SOM) 16 به منظور محاسبه‌ی ذرات راهنمای منحصر به فرد $Gbest$ است. احتسابی به ذرات استفاده می‌شود. شبکه‌ی SOM از یک لایه‌ی ورودی و یک لایه‌ی خروجی موسوم به لایه‌ی کوهنن 17 تشکیل شده است. لایه‌ی خروجی می‌تواند تک - یا دو - بعده باشد. به منظور توضیحات بیشتر پیرامون شبکه‌های SOM به نوشتارهای یکین 18 $[2009]$ ، $[20]$ مراجعه شود. الگوریتم حاکم بر شبکه‌های SOM در اینجا تشریح شده است. $[20]$ بردار ورودی یا الگوی ورودی به شبکه‌ی SOM به صورت رابطه‌ی 6 تعریف می‌شود:

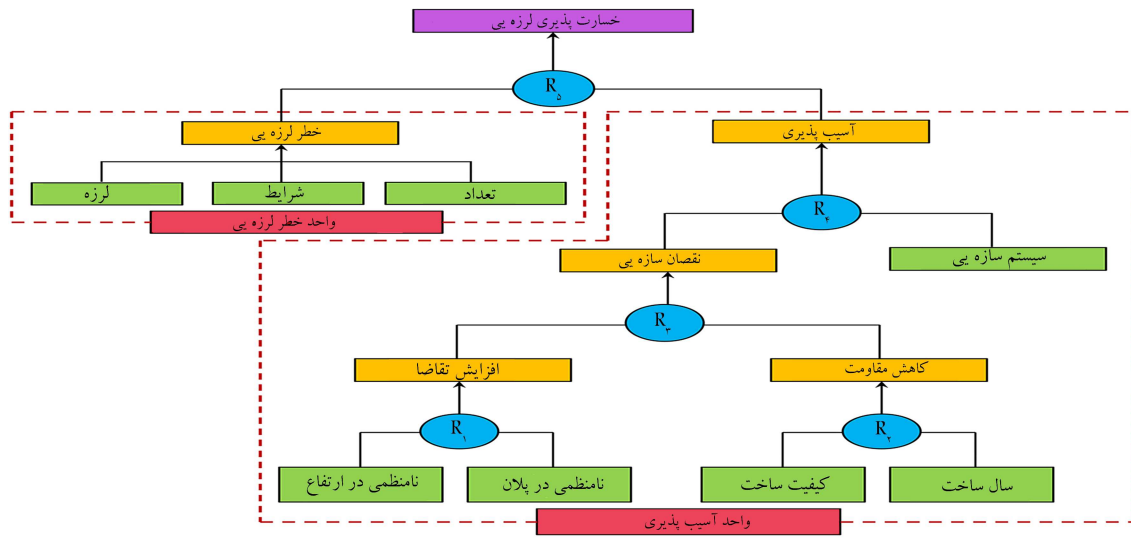
$$X = [x_1, x_2, \dots, x_D]^T \quad (6)$$

که در آن، D تعداد عناصر موجود در بردار ورودی X به شبکه است. بردارهای وزن مربوط به هر نرون در لایه‌ی خروجی از شبکه‌ی عصبی SOM به صورت رابطه‌ی 7 تعریف می‌شوند:

$$W_i = [w_{1i}, w_{2i}, \dots, w_{Di}]^T; i = 1, 2, \dots, M \quad (7)$$

که در آن، W_i بردار وزن مربوط به نرون η در لایه‌ی خروجی است که عملاء یک خوش (کلاستر) را نمایندگی می‌کند. همچنین D تعداد کل عناصر موجود در بردار وزن نرون‌ها و M تعداد کل نرون‌های ساخت (کلاسترها) مشابه هر نوع دیگری از شبکه‌های عصبی، شبکه‌ی عصبی SOM نیز باید به منظور یافتن قابلیت خوشبندی (کلاستر بندی) داده‌های ورودی به آن، ابتدا آموزش ببیند. در مرحله‌ی آموزش، تمامی الگوهای ورودی که در پژوهش حاضر، در حقیقت همان بردارهای موقعیت ذرات بهینه‌ی انفرادی‌ها ($Pbest$) ها هستند، به صورت یک به یک به شبکه اعمال می‌شوند. هر زمان که یک الگوی ورودی به شبکه SOM معرفی می‌شود، رقابتی میان نرون‌های شبکه در می‌گیرد، که در آن فاصله‌ی اقلیدسی میان بردار وزن هر نرون و بردار (الگو) ورودی محاسبه می‌شود و نزدیکی که حائز کمترین فاصله‌ی اقلیدسی با بردار ورودی متعلق به آن است، انتخاب می‌شوند. سپس نرون مذکور کلاستری که بردار ورودی متعلق به آن است، انتخاب می‌شوند. به سمت بردار ورودی به شبکه (ذره i) که کمترین فاصله و بیشترین تشابه را با آن داشته باشد، حرکت می‌کند. این حرکت مطابق رابطه‌ی 8 صورت می‌گیرد:

$$W_i(t+1) = W_i(t) + \eta(t)(X - W_i(t)) \quad (8)$$



شکل ۱. نمای کلی سیستم سلسله مراتبی منطق فازی.^[۱]

پارامترهای VI و PI خود شامل دو پارامتر کیفی "yes" و "no" هستند، که در جریان فرایند کالیبراسیون به هر کدام از آن‌ها، یک مقدار کمی اختصاص می‌یابد. پارامتر CQ نیز در برگیرنده‌ی سه حالت "poor", "good" و "average" است که آن‌ها نیز در کالیبراسیون مدل، شکل کمی به خود می‌گزند. سیستم سازه‌ی ساختمان نیز در مدل ذکر شده، شامل سه سیستم قاب خمشی (MRF)، قاب خشمی و دیوار برپی (سیستم دوگانه) (MSW) و قاب خشمی با دیوارهای ساخته شده از مصالح بنایی پُرکننده (MRFI) است که هر سه به نوعه‌ی خود در جریان آموخته مدل فازی به صورت بهینه تنظیم می‌شوند. همچنین چهار سیستم اول از سیستم‌های فازی پنج‌گانه‌ی R_1, R_2, R_3 و R_5 ، سه حالت کم (L)، متوسط (M) و زیاد (H) را بر مبنای میزان تأثیرگذاری آن‌ها در خسارت‌پذیر شدن یک ساختمان در مقابل بار زلزله به خود اختصاص می‌دهند که حالت‌های مذکور به عنوان اعداد فازی منفرد در تالی قوانین ظاهر می‌شوند و مقداری کمی به خود می‌گزند. سیستم R_5 نیز خود شامل ۵ حالت: خیلی کم (VL)، کم (L)، متوسط (M)، زیاد (H)، و خیلی زیاد (VH) است که به ترتیب اعداد ۱، ۲، ۳، ۴ و ۵ به آن‌ها نسبت داده می‌شود.

۳.۲. نحوی عملکرد مدل منطق فازی در پیش‌بینی خسارت لرزه‌ی
همان‌گونه که بیان شد، هر یک از سیستم‌های فازی اشاره شده، خود شامل دو پارامتر مؤثر در آسیب‌پذیری ساختمان‌ها در مقابل زلزله هستند که مقدم‌های (Premise) قوانین فازی را تشکیل می‌دهند؛ در حالی که به ازاء هر قانون از هر سیستم قوانین، یک گزاره‌ی مؤخر یا تالی نیز وجود دارد و از آنجاکه تمامی سیستم‌های فازی به کارگرفته شده در مدل سلسله مراتبی در نوشتار حاضر از نوع سوگون هستند، تالی‌های اخیر به صورت اعداد فازی منفرد (Singleton) در نظر گرفته شده‌اند و یک مجموعه‌ی فازی، در برگیرنده‌ی فقط یک عنصر با درجه عضویت یک است. تالی هر سیستم از غیرفازی سازی خروجی فازی سیستم پیشین ناشی می‌شود. در همین حال، اعداد فازی منفرد دیگری نیز در سیستم‌ها حضور دارند که بیانگر کمیت منتنسب به یک متغیر زبانی هستند که به پارامترهای مجهولی که در روش RVS مشاهده و به مدل ساختمان، شاخص خسارت‌پذیری ساختمان یا همان سطح خسارت را مشخص می‌کند، که خروجی نهایی سیستم سلسله مراتبی فازی مطابق در نوشتار حاضر است.

مناسب، می‌تواند به عنوان نقطه‌ی قوت الگوریتم پیشنهادی *GuASPSO* و وجه تمایز آن با الگوریتم استاندارد *PSO* و سایر نسخه‌های اصلاحی الگوریتم محبوب و شناخته شده‌ی *GuASPSO* تلقی شود.

۲.۲. مدل سلسله مراتبی منطق فازی

در نوشتار حاضر، یک مدل منطق فازی سلسله مراتبی که نخستین بار توسط تسفاماریام و ساعتچی اوغلو^{[۱]، [۲۰۰۸]} پیشنهاد شده است، جهت پیش‌بینی شاخص خسارت‌پذیری لرزه‌ی ساختمان‌های بتن‌آرمه استفاده شده است. مدل مذکور از ۵ سیستم قاعده - بنیاد فازی به نام‌های R_1, R_2, R_3, R_4 و R_5 تشکیل شده است. یک نمای کلی از مدل سلسله مراتبی فازی اخیر در شکل ۱ مشاهده می‌شود.

در مدل مذکور، دو واحد اصلی وجود دارد: ۱. واحد آسیب‌پذیری ساختمان و ۲. واحد خطر لرزه‌ی سایت زلزله. واحد اول، عاقب ناشی از ویژگی‌های (ID) و کاهش مقاومت در برابر زلزله (DR) را در نظر می‌گیرد، که این دو عامل نیز خود میزان نقصان سازه‌ی ساختمان (SD) در برابر بار زلزله را نشان می‌دهند. نامنظمی در پلان (PI) و نامنظمی در ارتفاع ساختمان (VI) از مهم‌ترین عواملی هستند که افزایش تقاضای لرزه‌ی را سبب می‌شوند، در حالی که کیفیت ساخت (CQ) و سال ساخت ساختمان (YC) از جمله عوامل مؤثر در کاهش مقاومت ساختمان در مقابل بار زلزله هستند. سیستم سازه‌ی ساختمان (SS) نیز به همراه نقصان سازه‌ی آن (I^{BV}) نقش دارد. آسیب‌پذیری ساختمان با عنوان شاخص آسیب‌پذیری ساختمان (I^{SH}) مطابق است که خود تابعی از سه پارامتر لرزه‌خیزی سایت، شرایط سایت و تعداد طبقات ساختمان است. با توجه به این نکته که خطر لرزه‌ی سایت می‌تواند مستقیماً از طیف پاسخ ساختمان نیز به دست آید، این پارامتر طبقه‌ی توصیه‌ی تسفاماریام و ساعتچی اوغلو^{[۱]، [۲۰۰۸]} با پارامتر شتاب طیفی (S_a) جایگزین شده است. ترکیب شتاب طیفی و آسیب‌پذیری ساختمان، شاخص خسارت‌پذیری ساختمان یا همان سطح خسارت را مشخص می‌کند، که خروجی نهایی سیستم سلسله مراتبی فازی مطابق در نوشتار حاضر است.

۱۴. کالیبراسیون مدل منطق فازی

مدل منطق فازی، پیش‌بینی‌کننده‌ی سطح خسارت لرزه‌بی مانند هر مدل هوشمند داده – محور دیگری نیازمند کالیپراسیون (آموزش) است. در مرحله‌ی کالیپراسیون، تمام پارامترهای مجهول مدل، شامل ضرایب تبدیل پارامترهای مشاهداتی در روش RVS و نیز کل مقادیر کتی اعداد فازی متفاوت، که در تالی قوانین در سیستم‌های فازی استفاده می‌شوند، به صورت بهینه تعیین می‌شوند. جهت انجام فرایند آموزش مدل فازی، در نوشتار حاضر از دو الگوریتم معروف و شناخته‌شده‌ی ازدحام ذرات (PSO)،^[۱۸] و گرگ خاکستری (GWO)^[۱۹] و نیز یک الگوریتم پیشرفته‌ی ازدحام ذرات با عنوان الگوریتم بهینه‌سازی ازدحام ذرات مبتنی بر جست‌وجوی تطبیقی هدایت شده (GuASPSO)،^[۲۰] استفاده شده است. در پایان، نتایج آموزش مدل منطق فازی توسط هر سه الگوریتم بهینه‌سازی با یکدیگر مقایسه و الگوریتم رتر انتخاب شده است. کدنویسی هر سه الگوریتم در محیط نرم‌افزار متلب^[۱۹] (R20۱۸b) انجام شده است. در مجموع، ۷۲ ساختمان در سایت لرزه‌بی سر پل ذهاب موجود است که ۵۰ ساختمان (۷۰٪) برای آموزش و ۲۲ ساختمان (۳۰٪) به منظور اعتبارسنجی استفاده شده‌اند. تابع هدف الگوریتم‌های بهینه‌سازی در پژوهش حاضر، کمینه‌سازی جذر میانگین مربعات خطای میان سطح خسارت محاسباتی نویسط مدل فازی و مشاهداتی توسط روش RVS است، که اصطلاحاً RMSE نامیده می‌شود. تابع هدف بهینه‌سازی و قیود مرتبط به شرح روابط ۲۱ الی ۲۵

$$Minimize \text{ } RMSE = \sqrt{\frac{1}{N} \sum_{i=1}^N (I_i^{BD'} - I_i^{BD})^2} \quad (41)$$

Subject to :

$$VI, PI : \circ, \circ \backslash <'' no'' <, 01; \circ, \circ \backslash <'' yes'' <, 99 \quad (22)$$

$$CQ : \circ, \text{poor}'' < \circ, \text{good}'' ; \\ \circ, \text{average}'' < \circ, \text{good}'' \quad (44)$$

$SS : \langle'' MSW'' \rangle, \forall; \langle'' MRFI'' \rangle, \forall;$
 $\langle'' MRF'' \rangle, \forall$ (24)

$$ID, DR, SD, I^{BV} : \circ <'' L'' > \circ, \forall \delta; \\ \circ, \forall \delta <'' M'' < \circ / \forall \circ; \circ / \forall \circ <'' H'' < \circ \quad (45)$$

به در آن‌ها، MSW ، MRF و $MRFI$ به ترتیب نشانگر سیستم‌های باربر، رزه‌بی قاب خمشی و دیوار برشی (سیستم دوگانه)، قاب خمشی به همراه دیوارهای مصالح بنای پُرمکنده و قاب خمشی هستند. همچنین N تعداد ساختمان‌ها در جمیع‌وی اموزشی و I_i^{BD} و $I_i^{BD'}$ به ترتیب سطح خسارت مشاهداتی و حساباتی برای نامین ساختمان از ۵۰ ساختمان موجود در جمیع‌وی داده‌های اموزشی است.

از آنجایی که یک مدل پیش‌بینی‌کننده‌ی منطق فازی باید در هر دو مرحله‌ی آموزش و اعتبارسنجی، عملکرد قابل قبولی را از خود بروز دهد، باید به دنبال گمینه‌سازی $RMSE$ در هر دو مرحله‌ی آموزش و اعتبارسنجی به طور همزمان بود. در این راستا، در پژوهش حاضر پیشنهاد شده است که میانگین هندسی $RMSE$ در دو مرحله، گمینه‌سازی شود. از آنجاکه میانگین هندسی برخلاف میانگین حسابی بن قابلیت را دارد که هم میانگین و هم میزان شباخت متغیرهای میانگین‌گیری شده را به طور هم‌زمان ارائه کند، در صورتی که میانگین هندسی دو عدد گمینه شود،

از غیرفازی ساز مرکز نقل استفاده شده است. به منظور روشن کردن شیوه‌ی کارکرد این مدل فازی، در پژوهش حاضر، آخرين سیستم فازی از پنج سیستم یعنی (R_5) انتخاب و مطابق روابط ۱۳ الی ۱۸ فرمول بندی شده است. همچنین توابع عضویت فازی استفاده شده در فازی سازی مقدم‌ها و نیز نحوه‌ی ترکیب مقدم‌های مذکور در نوشтар تسفاماریام [۲۰۰۸]، [۲۱] قابل مشاهده است.

R_v : If I^{BV} is VL AND I^{SH} is VL THEN $I^{BD} = \backslash$ (13)

R₄ : If I^{BV} is **VL** AND I^{SH} is **L** THEN $I^{BD} = \backslash$ (14)

R_f : If I^{BV} is **VL** AND I^{SH} is **H** THEN $I^{BD} = \text{r}$ (18)

R_δ: If I^{D^V} is **VL** AND I^{S^H} is **VH** THEN $I^{D^D} = \gamma$ (14)

$$\mathbf{R}_{\mathbf{V}\delta} : \text{If } I^{BV} \text{ is } \mathbf{VH} \text{ AND } I^{SH} \text{ is } \mathbf{VH} \text{ THEN } I^{BD} = \delta$$

(18)

که در آن‌ها، I^{BV} شاخص آسیب‌پذیری ساختمان، I^{SH} شاخص خطر لرزه‌بی و I^{BD} شاخص خسارت‌پذیری لرزه‌بی ساختمان هستند که اصطلاحاً سطح خسارت نیز نامیده می‌شود و از ۱ تا ۵ متغیر است. پس از تشکیل همه‌ی ۲۵ قانون مذکور از پنجمین سیستم فازی مدل سلسله مراتبی فازی، روش غیرفازی‌ساز مرکز تقلیل به صورت رابطه‌ی ۱۹ به محاسبه‌ی عدد نهایی سطح خسارت می‌پردازد:

$$I^{BD^*} = \frac{\sum_{i=1}^{\tau_D} I_i^{BD} \times \mu_{C_i}(I_i^{BD})}{\sum_{i=1}^{\tau_D} \mu_{C_i}(I_i^{BD}) + \varepsilon} \quad (19)$$

که در آن، $I_i^{BD} = \mu_{A_i}(I_i^{BV}) \times \mu_{B_i}(I_i^{SH})$ و نو شمارنده قوانین فازی است که از ۱ تا ۲۵ متغیر است. μ بیانگر درجه عضویت فازی است و A_i, B_i, C_i به ترتیب توابع عضویت فازی تعریف شده برای شاخص های I_i^{BV} و I_i^{SH} هستند. I_i^{BD} خروجی نهایی مدل سلسله مراتبی فازی و یک عدد مثبت بسیار کوچک است که برای جلوگیری از تکینگی در مخرج کسر استفاده شده است. از آنجا که I_i^{BD} در حالت کلی یک عدد حقیقی (اعشاری) است، در حالی که باید برابر کیمیتی گستته، مانند: ۱، ۲، ۳، ۴ و ۵ به عنوان سطح خسارت لرزه‌یی باشد، بنابراین از رابطه‌ی $I_i^{BD} = 20 \cdot \text{جهت گستته سازی}$ استفاده می‌شود:

$$I_{dis}^{BD^*} = Round \left(\max(I^{BD^*}, 1) \right) \quad (\textcircled{4})$$

که در آن، $I_{dis}^{BD^*}$ شاخص نهایی خسارت‌پذیری و یا همان سطح خسارت لرزه‌بی محاسبه شده توسط مدل فازی است که در روابط آنی به اختصار I^{BD} نامیده می‌شود. محاسبات سایر سیستم‌های فازی پنج گانه نیز به طریقی مشابه صورت می‌گیرد، با این تفاوت که تالی سیستم‌های ذکر شده برخلاف سیستم R_5 ، یک کمیت مجهول است که خود طی فرایند کالیبراسیون (آموزش) مدل فازی محاسبه و تعیین می‌شود.

$$SI_{obs} = \sqrt{\frac{\sum_{i=1}^N (I_i^{BD'} - \bar{I}^{BD'})^2}{N}} \quad (32)$$

$$SI_{comp} = \sqrt{\frac{\sum_{i=1}^N (I_i^{BD} - \bar{I}^{BD})^2}{N}} \quad (33)$$

$$DSI = |SI_{obs} - SI_{comp}| \quad (34)$$

که در آن‌ها، $MAPE$ خطای درصد مطلق میانگین، $RRMSE$ جذر میانگین مربعات خطای نسبی، R ضریب همبستگی، PI شاخص عملکرد، d شاخص تطبیق، SI_{obs} شاخص پراکندگی سطوح خسارت مشاهداتی، SI_{comp} شاخص پراکندگی سطوح خسارت محاسباتی و DSI قدرمطلق تفاضل این دو شاخص پراکندگی سطوح خسارت مشاهداتی و DSI داده‌های داده‌های میانگین آن‌هاست. بنابراین، شاخص پراکندگی با حذف اثر مقیاس مجموعه داده به میانگین آن‌هاست. میزان تنوع میان آن‌ها را در مقایسه با داده‌های دیگر به شکل منطقی تری منعکس می‌کند.

هر چه مقادیر معیارهای $MAPE$ و $RRMSE$ کوچک‌تر باشند، دقیق‌تر مدل در پیش‌بینی سطح خسارت لرزه‌ی بیشتر خواهد بود و مقادیر بزرگ‌تر مدل معیارهای R و d نیز بیانگر عملکرد بهتر مدل فازی هستند. همچنین، هر چه مقادیر معیارهای SI_{obs} و SI_{comp} بزرگ‌تر باشند، مجموعه‌های داده‌های مشاهداتی و محاسباتی متعدد ترند و بنابراین مدل فازی اججاد شده را می‌توان با اطمینان بالاتری در شبیه‌سازی فرایند‌های مشابه به کار گرفت. آخرین معیار، DSI است که هر چه کوچک‌تر باشد، به معنای تطبیق بیشتر مجموعه‌های داده‌های مشاهداتی و محاسباتی و بالاتر بودن دقیق‌تر در شبیه‌سازی و تخمین خسارت لرزه‌ی است.

۳. مطالعه‌ی موردی

زلزله‌ی سرپل ذهاب در ساعت ۲۱ و ۴۸ دقیقه (به وقت محلی) در روز ۲۱ آبان‌ماه ۱۳۹۶ هجری شمسی، مطابق با ساعت ۱۸ و ۱۸ دقیقه (به وقت جهانی) روز ۱۲ نوامبر ۲۰۱۷ میلادی با بزرگ‌ای گشتواری ۷/۳ در فاصله‌ی ۱۰ کیلومتری ازکله و حدود ۳۷ کیلومتری شمال غرب شهرستان سرپل ذهاب از استان کرمانشاه به وقوع پیوسته است. بیشینه‌ی شتاب زمین (PGA) ثبت شده در سرپل ذهاب به میزان ۶۸۴ گال بوده و اغلب خسارت‌های شدید ساختمانی نیز در سرپل ذهاب رخ داده است. طی یک پژوهشی پژوهشی، به کمک روش ارزیابی سریع بصری (RVS)،^[۱۲] اغلب ساختمان‌های آسیب‌دیده در منطقه‌ی زلزله‌زده از جمله شهر سرپل ذهاب بررسی و میزان خسارت‌پذیری لرزه‌ی ساختمان‌های پتنی در شهر زلزله‌زده سرپل ذهاب، در پژوهش حاضر ارزیابی شده‌اند.

۴. نتایج و بحث

جهت آموزش مدل فازی پیش‌بینی کننده‌ی خسارت لرزه‌ی از دوالگوریتم شناخته شده‌ی بهینه‌سازی فرالاتکاری ازدحام ذرات (PSO) و گرگ حاکستری (GWO) به همراه یک سویه‌ی جدید و پیشرفت‌های از الگوریتم ازدحام ذرات (GuASPSO) استفاده شده است. طی فرایند آموزش مدل شبیه‌ساز فازی، که اصطلاحاً کالیبراسیون نیز خوانده می‌شود، پارامترهای داخلی مجھول مدل فازی همگی به صورت بهینه تعیین

این بدان معناست که دو عدد متشابه‌ای کمیه شده‌اند. در نتیجه، در پژوهش حاضر از میانگین‌گیری هندسی میان شاخص‌های $RMSE$ در دو مرحله‌ی آموزش و اعتبارسنجی استفاده شده است (مطابق رابطه‌ی ۲۶):

$$OPI = \sqrt[\sum_{i=1}^r W_i]{\prod_{i=1}^r (RMSE_{max} - RMSE_i)^{W_i}} \\ = \left\{ (3 - RMSE_1)^{W_1} \times (3 - RMSE_2)^{W_2} \right\}^{1/(W_1 + W_2)} \quad (26)$$

که در آن، $RMSE_1$ و $RMSE_2$ به ترتیب جذر میانگین مربعات خطای داده‌های محاسباتی و مشاهداتی در مراحل آموزش و اعتبارسنجی هستند. همچنین $OPI W_1 = W_2 = ۰$ ، $RMSE_1$ شاخص عملکرد کلی نامیده می‌شود که هر چه بزرگ‌تر باشد، عملکرد مدل فازی در شبیه‌سازی رابطه‌ی میان ورودی‌ها و خروجی و محاسبه‌ی سطح خسارت نهایی مطلوب تر خواهد بود. در فرایند آموزش مدل فازی در نوشتار حاضر، ۵۰ مرتبه، مجموعه‌هایی از داده‌های آموزش و اعتبارسنجی به نسبت ۷۰٪ به ۳۰٪ انتخاب و پس از هر بار انتخاب دو مجموعه، ۵ مرتبه الگوریتم بهینه‌سازی اجرا شده است. همچنین در هر بار اجرای الگوریتم، فرایند بهینه‌سازی در ۱۰۰۰ تکرار و با ۳۰ عامل جست‌وجوگر به عنوان اندازه‌ی جمعیت الگوریتم انجام شده است. در مجموع، ۲۲ متغیر تصمیم قابل تنظیم در مدل منطق فازی وجود دارد که طی مراحل مذکور به صورت بهینه تعیین و مدل پیش‌بینی کننده‌ی فازی با تنظیم کلیه‌ی پارامترهای مذکور شکل گرفته و آماده‌ی استفاده در فرایند شبیه‌سازی خسارت‌پذیری لرزه‌ی ساختمن‌هایی شده است که به لحاظ موقعیت جغرافیایی و نیز پارامترهای ورودی تقریباً در همان محدوده‌ی قرار دارند که پارامترهای مدل طراحی شده با اعمال داده‌های مربوط به آن بهینه می‌شوند.

۵. معیارهای کارآیی مدل منطق فازی

علاوه بر معیار بسیار معروف و شناخته شده‌ی $RMSE$ ، معیارهای دیگری نیز جهت ارزیابی کارآیی مدل منطق فازی ایجاد شده وجود دارند که به صورتی کامل و جامع می‌توانند میزان قدرت نسبی یک مدل شبیه‌ساز را در تخمین خروجی موردنظر از آن ارائه کنند که در روابط ۲۷ الی ۳۴ ارائه شده‌اند:

$$MAPE = \frac{1}{N} \sum_{i=1}^N \left| \frac{I_i^{BD'} - I_i^{BD}}{I_i^{BD'}} \right| \quad (27)$$

$$RRMSE = \frac{1}{\sqrt{|I^{BD'}|}} \sqrt{\frac{\sum_{i=1}^N (I_i^{BD'} - I_i^{BD})^2}{N}} \quad (28)$$

$$R = \frac{\sum_{i=1}^N (I_i^{BD'} - \bar{I}^{BD'})(I_i^{BD} - \bar{I}^{BD})}{\sqrt{\sum_{i=1}^N (I_i^{BD'} - \bar{I}^{BD'})^2 \cdot \sum_{i=1}^N (I_i^{BD} - \bar{I}^{BD})^2}} \quad (29)$$

$$PI = \frac{RRMSE}{R + 1} \quad (30)$$

$$d = 1 - \frac{\sum_{i=1}^N (I_i^{BD'} - I_i^{BD})^2}{\sum_{i=1}^N \left(|I_i^{BD'} - \bar{I}^{BD'}| + |I_i^{BD} - \bar{I}^{BD}| \right)^2} \quad (31)$$

جدول ۱. معیارهای کارایی مدل‌های پیش‌بینی کنندۀ منطق فازی آموزش دیده با سه الگوریتم بهینه‌سازی در مرحله‌ی آموزش مدل‌ها.

نحوت (%)		الگوریتم‌ها			معیارهای کارایی
GUAPSO vs.PSO	GUAPSO vs.GWO	GuASPSO	PSO	GWO	
-۵/۷۴۱(-)	۶/۷۲۵(+)	۰/۱۷۱۲	۰/۱۶۲۰	۰/۱۸۳۷	MAPE
۱/۵۲۶۳(+)	۸/۲۳۵۸(+)	۰/۸	۰/۸۱۲۴	۰/۸۷۱۸	RMSE
۰/۴۸۰۱(+)	۸/۲۲۳۷(+)	۰/۲۰۷۳	۰/۲۰۸۳	۰/۲۲۵۹	RRMSE
۴/۴۶۷۶(+)	۱۲/۳۶۳۴(+)	۰/۱۲۸۳	۰/۱۲۴۳	۰/۱۴۶۴	PI
۱۱/۶۳۱۳(+)	۱۳/۴۲۱۸(+)	۰/۶۱۵۲	۰/۵۵۱۱	۰/۵۴۲۴	R
۱۵/۱۴۷۳(+)	۱۲/۴۶۵۸(+)	۰/۵۷۴۷	۰/۴۹۹۱	۰/۵۱۱۰	d
۱۱/۰۲۸۶(+)	۳/۲۵۴۴(+)	۰/۲۰۹۴	۰/۱۸۸۶	۰/۲۰۲۸	SI_{obs}
۲/۸۸۵۸(+)	۶/۰۳۵۱(-)	۰/۲۴۶۰	۰/۲۳۹۱	۰/۲۶۱۸	SI_{comp}
۲۷/۵۲۴۸(+)	۳۷/۹۶۶۱(+)	۰/۰۳۶۶	۰/۰۵۰۵	۰/۰۵۹۰	DSI

جدول ۲. معیارهای کارایی مدل‌های پیش‌بینی کنندۀ منطق فازی آموزش دیده با سه الگوریتم بهینه‌سازی در مرحله‌ی اعتبارسنجی مدل‌ها.

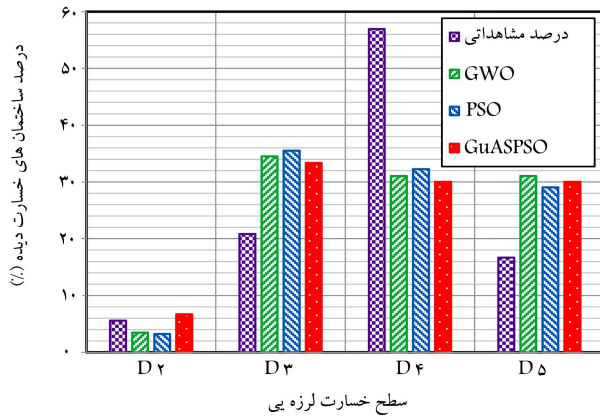
نحوت (%)		الگوریتم‌ها			معیارهای کارایی
GUAPSO vs.PSO	GUAPSO vs.GWO	GuASPSO	PSO	GWO	
۱۶/۴۷۵۳(+)	۱۶/۴۷۵۳(+)	۰/۱۴۵۵	۰/۱۷۴۲	۰/۱۷۴۲	MAPE
۸/۶۲۴۸(+)	۸/۶۲۴۸(+)	۰/۳۸۱۴	۰/۲۱۷۴	۰/۴۱۷۴	RMSE
۱۰/۸۰۳۶(+)	۸/۸(+)	۰/۰۹۹۹	۰/۱۱۲۰	۰/۱۰۹۳	RRMSE
۱۱/۶۸۰۹(+)	۱۷/۹۸۹۴(+)	۰/۰۶۲۰	۰/۰۷۰۲	۰/۰۷۵۶	PI
۲/۷۳۶۷(+)	۳۷/۲۲۸۱(+)	۰/۶۱۱۹	۰/۵۹۵۶	۰/۴۴۵۹	R
۲۲/۰۳۸۶(-)	۷/۲۸۴۶(-)	۰/۴۸۱۱	۰/۶۱۷۱	۰/۵۱۸۹	d
۲۱/۵۸۶۳(-)	۹/۳۲۷۸(-)	۰/۱۷۴۰	۰/۲۲۱۹	۰/۱۹۱۹	SI_{obs}
۲/۱۵۲۳(+)	۴/۴۸۴۳(+)	۰/۲۵۶۳	۰/۲۵۰۹	۰/۲۴۳۵	SI_{comp}
۱۸۳/۷۹۳۱(-)	۵۹/۴۹۶۱(-)	۰/۰۸۲۳	۰/۰۲۹۰	۰/۰۵۱۶	DSI

جدول ۳. معیارهای کارایی مدل‌های پیش‌بینی کنندۀ منطق فازی آموزش دیده با سه الگوریتم بهینه‌سازی در کل مجموعه‌ی داده‌ها.

نحوت (%)		الگوریتم‌ها			معیارهای کارایی
GUAPSO vs.PSO	GUAPSO vs.GWO	GuASPSO	PSO	GWO	
۱/۲۸۳۸۱(+)	۹/۶۲۳۹(+)	۰/۱۶۳۴	۰/۱۶۵۷	۰/۱۸۰۸	MAPE
۰/۶۸۷۸(+)	۴/۹۱۵۳(+)	۰/۴۰۴۳	۰/۴۰۷۱	۰/۴۲۵۲	RMSE
۰/۶۶۱۶(+)	۴/۸۸۶۹(+)	۰/۱۰۵۱	۰/۱۰۵۸	۰/۱۱۰۵	RRMSE
۲/۴۰۷۴(+)	۱۰/۵۶۲۴(+)	۰/۰۶۵۲	۰/۰۶۷۵	۰/۰۷۲۹	PI
۷/۷۸۴۴(+)	۱۸/۶۰۴۷(+)	۰/۶۱۲۰	۰/۵۶۷۸	۰/۵۱۶۰	R
۱/۵۰۷۴(+)	۷/۴۳۱۹(+)	۰/۵۵۲۲	۰/۵۴۴۰	۰/۵۱۴۰	d
۰(~)	۰(~)	۰/۱۹۸۳	۰/۱۹۸۳	۰/۱۹۸۳	SI_{obs}
۲/۵۶۷۳(+)	۲/۷۱۰۱(-)	۰/۲۴۷۷	۰/۲۴۱۵	۰/۲۵۴۶	SI_{comp}
۱۴/۳۵۱۹(-)	۱۲/۲۵۵۸(+)	۰/۰۴۹۴	۰/۰۴۳۲	۰/۰۵۶۳	DSI

همچنین ۹ معیار کارایی پیشتر ذکر شده جهت ارزیابی عملکرد مدل‌های منطق فازی در پیش‌بینی خسارت‌پذیری لرزه‌یی استفاده شده‌اند، که در جدول‌های ۱ الی ۳ به ترتیب مقادیر عددی آن‌ها برای مدل منطق فازی طراحی شده به کمک سه الگوریتم بهینه‌سازی در سه مرحله‌ی آموزش، اعتبارسنجی و در کل داده‌ها ارائه شده‌اند. بر ارائه شده در نوشتار یزدی و همکاران (۲۰۲۰)،^[۱۲] شاخص خطر لرزه‌یی سایت وقوع زلزله (I^{SH}) و بر بر لرزه‌یی ساختمان (SS)،^[۱۳] شاخص خطر لرزه‌یی سایت وقوع زلزله ($I^{BD'}$) در مقایسه با دو سطح خسارت واقعی مشاهداتی ساختمان‌ها در سایت زلزله ($I^{BD'}$) هستند.

شدیداند. پارامترهای ذکر شده شامل کمیت‌های مبهم متناسب به متغیرهای زیانی: ۱. نامنظمی در ارتفاع (VI)؛ ۲. نامنظمی در پلان (PI)؛ ۳. کیفیت ساخت (CQ)؛ ۴. سال ساخت (YC)؛ که ضرایب تبدیل آن برای ساختمان‌های مختلف براساس روش ارائه شده در نوشتار یزدی و همکاران (۲۰۲۰)^[۱۴] تعیین شده‌اند؛ ۵. سیستم باربر لرزه‌یی ساختمان (SS)؛ ۶. شاخص خطر لرزه‌یی سایت وقوع زلزله ($I^{BD'}$) و ۷. سطح خسارت واقعی مشاهداتی ساختمان‌ها در سایت زلزله ($I^{BD'}$) هستند.



شکل ۲. درصد محاسبه شده‌ی ساختمان‌های خسارت دیده در سطوح مختلف خسارت لرزه‌یی.

جدول‌های ۴ الی ۶ نشان می‌دهند که مدل فازی آموزش‌دیده با الگوریتم GuASPSO سطح دوم خسارت (D2) که فقط چهار ساختمان از مجموع ۷۲ ساختمان در آن قرار دارند، را بهتر از مدل‌های آموزش‌دیده با دو الگوریتم دیگر پیش‌بینی کرده است. همان‌طور که در جدول ۷ نیز مشاهده می‌شود، مدل کالیبره شده توسط الگوریتم GuASPSO، هم دقت متوسط بالاتر و هم حساسیت بالاتری نسبت به سطوح مختلف خسارت دارد. به این معنا که نسبت به دو مدل دیگر، توانایی بیشتری در تشخیص صحیح سطوح خسارت لرزه‌یی دارد. شایان ذکر است از آنجا که در مجموعه‌ی داده‌های زلزله‌ی مطالعه شده، هیچ ساختمانی در سطح خسارت اول (D1) قرار ندارد، لذا، سطح خسارت اول (D1) در جدول‌های ۴ الی ۶ ارائه نشده است. همچنین نتایج یک تحلیل چندمعیاره به روش برنامه‌ریزی سازشی^{۲۳} در جدول ۸ ارائه شده است. نتایج این تحلیل نیز حاکی از برتری مطلق مدل فازی آموزش‌دیده با الگوریتم GuASPSO بر مدل‌های کالیبره شده با دو الگوریتم دیگر است. متغیرهای تصمیم بهینه شده توسط هر سه الگوریتم ذکر شده در جدول ۹ ارائه شده‌اند. در انتها، در شکل ۲، درصد ساختمان‌های خسارت دیده به تفکیک سطح خسارت شناسایی شده مشاهده می‌شود.

۵. نتیجه‌گیری

روش غربال‌گری سریع بصری (RVS) که عمدتاً جهت ارزیابی ویژگی‌های لرزه‌یی یک ساختمان و نیز سطح خسارت لرزه‌یی آن استفاده می‌شود، به رغم بهره بردن از سادگی و سرعت قابل ملاحظه در مقایسه با روش‌های دیگر، دقت بالایی ندارد. دلیل عمدتی این امر را باید در عدم قطعیت ذاتی موجود در روش RVS جست‌وجو کرد. این موضوع، انگیزه‌ی اصلی استفاده از مدل منطق فازی در نوشتار حاضر در لحاظ کردن همه‌ی این عدم قطعیت‌ها و در نتیجه هر چه دقیق تر سازی فرایند شیوه‌سازی اثر زلزله در ساختمان‌ها جهت برآورد سطح خسارت لرزه‌یی آن‌ها بوده است. از مدل فازی ارائه شده برای پیش‌بینی شاخص خسارت پذیری لرزه‌یی ساختمان‌های واقع در سایت لرزه‌یی زلزله‌ی منطقه‌ی سرپل ذهاب رخداده در سال ۱۳۹۶ استفاده شده است. در نوشتار حاضر، به منظور آموزش مدل فازی استفاده شده از سه الگوریتم بهینه‌سازی فرالاتکاری گرگ خاکستری (GWO)، ازدحام ذرات (PSO) و یک الگوریتم جدیداً پیشنهاد شده با عنوان الگوریتم ازدحام

جدول ۴. ماتریس چگونگی عملکرد مدل فازی آموزش دیده با الگوریتم GWO در پیش‌بینی سطوح مختلف خسارت لرزه‌یی.

خسارت محاسباتی					
حساسیت (%)	D5	D4	D3	D2	N = ۷۲
۲۵	۰	۱	۲	۱	D2
۶۶/۶۷	۰	۴	۱۰	۱	D3
۲۱/۹۵	۱۶	۹	۱۳	۳	D4
۷۵	۹	۳	۰	۰	D5
دقت (%)					۳۶

جدول ۵. ماتریس چگونگی عملکرد مدل فازی آموزش دیده با الگوریتم PSO در پیش‌بینی سطوح مختلف خسارت لرزه‌یی.

خسارت محاسباتی					
حساسیت (%)	D5	D4	D3	D2	N = ۷۲
۲۵	۰	۱	۲	۱	D2
۷۳/۳۳	۰	۳	۱۱	۱	D3
۲۴/۳۹	۱۷	۱۰	۱۳	۱	D4
۷۵	۹	۳	۰	۰	D5
دقت (%)					۳۴/۶۲

جدول ۶. ماتریس چگونگی عملکرد مدل فازی آموزش دیده با الگوریتم GuASPSO در پیش‌بینی سطوح مختلف خسارت لرزه‌یی.

خسارت محاسباتی					
حساسیت (%)	D5	D4	D3	D2	N = ۷۲
۵۰	۰	۱	۱	۲	D2
۶۶/۶۷	۰	۳	۱۰	۲	D3
۲۱/۹۵	۱۹	۹	۱۳	۰	D4
۷۵	۹	۳	۰	۰	D5
دقت (%)					۳۲/۱۴

جدول ۷. ماتریس خلاصه عملکرد مدل فازی آموزش دیده با سه الگوریتم بهینه‌سازی در پیش‌بینی سطوح مختلف خسارت لرزه‌یی.

الگوریتم	متوسط دقت (%)	متوسط
GWO	۳۷/۲۴	۴۱/۱۶
PSO	۴۲/۲۷	۴۹/۴۳
GuASPSO	۴۵/۰۲	۵۳/۴۱

الگوریتم بهینه‌سازی دیگر هستند. بهترین معیار کارایی مربوط به مدل فازی در هر یک از جدول‌های مذکور با اندازه‌ی درشت^{۲۲} (پرنگک‌تر) ارائه شده‌اند. همان‌طور که از نتایج مشخص است، الگوریتم GuASPSO در ۷ مورد از معیارهای مرحله‌ی آموزش (۷۸٪)، ۶ مورد از معیارهای مرحله‌ی اعتبارسنجی (۶۷٪) و ۷ مورد از معیارهای مربوط به کل مجموعه‌ی داده‌ها (۷۸٪) بر دو الگوریتم دیگر کاملاً برتری دارد. همچنین نتایج پیش‌بینی سطوح خسارت لرزه‌یی دوم، سوم، چهارم و پنجم که به ترتیب با نمادهای D2، D3، D4 و D5 مشخص شده است، در قالب سه ماتریس در جدول‌های ۴ الی ۶ ارائه شده‌اند. در جدول ۷ نیز دقت و حساسیت متوسط مدل‌های فازی در پیش‌بینی سطوح مختلف خسارت ارائه شده است.

جدول ۸. شاخص برنامه‌ریزی سازشی برای مدل‌های مختلف فازی در سه مرحله طراحی مدل‌ها.

نقاوت (%)			الگوریتم‌ها			مرحله
GUAPSO vs.PSO	GUAPSO vs.GWO	GuASPSO	PSO	GWO		
۶۰/۶۴۶۷(+)	۶۸/۷۰۷۷(+)	۰/۸۱۶۶	۲/۰۷۵۰	۲/۶۰۹۶	آموزش	
۸/۰۸۵۸(+)	۳۳/۱۰۴۴(+)	۱/۷۳۲۱	۱/۸۸۴۴	۲/۵۸۹۲	اعتبارسنجی	
۴۰/۱۹۹۰(+)	۷۳/۲۳۲۵(+)	۰/۷۰۸۲	۱/۱۸۴۳	۲/۶۴۵۸	کل	

جدول ۹. پارامترهای داخلی محاسبه شده مدل منطق فازی (متغیرهای تصمیم بهینه شده توسط الگوریتم‌های مختلف بهینه‌سازی).

الگوریتم آموزش مدل فازی			پارامترهای کالیبره شده
GuASPSO	PSO	GWO	
۰/۳۹۵۸	۰/۲۵۹۵	۰/۰۱۳	VI(no)
۰/۷۹۳۵	۰/۵۰۰۹	۰/۵۴۳۹	VI(yes)
۰/۳۰۴۵	۰/۴۲۲۴	۰/۳۷۱۵	PI(no)
۰/۶۷۶۷	۰/۶۷۲۷	۰/۷۶۸۲	PI(yes)
۰/۸۸۹۱	۰/۷۸۱۲	۰/۹۹	CQ(poor)
۰/۶۳۸۶	۰/۲۸۵۴	۰/۷۱۵۷	CQ(average)
۰/۱۵۲۶	۰/۱۲۷۵	۰/۲۴۴۰	CQ(good)
۰/۲۱۹۲	۰/۰۳۷۳	۰/۰۱۳۸	SS(MSW)
۰/۴۱۲۸	۰/۶۴۳۸	۰/۴۲۳۵	SS(MRFI)
۰/۷۴۷۹	۰/۸۸۴۵	۰/۷۶۵۲	SS(MRF)
۰/۱۷۰۳	۰/۲۰۹۹	۰/۲۵	R _۱ (L)
۰/۴۹۲۲	۰/۵۴۹۶	۰/۶۲۷۶	R _۱ (M)
۰/۸۲۳۴	۰/۷	۰/۸۹۹۱	R _۱ (H)
۰/۱۲۲۸	۰/۲۴۸۹	۰/۰۳۳۰	R _۲ (L)
۰/۶۱۷۵	۰/۷	۰/۵۰۲۲	R _۲ (M)
۰/۹۴۱۸	۰/۹۳۲۱	۱	R _۲ (H)
۰/۰۸۱۱	۰/۰۵۷۴	۰/۱۴۶۷	R _۳ (L)
۰/۳۶۴۵	۰/۴۰۵۴	۰/۴۰۵۹	R _۳ (M)
۰/۷۸۱۰	۰/۹۲۴۵	۰/۷۱۶۲	R _۳ (H)
۰/۰	۰/۰۰۵۶	۰/۰۲۶۹	R _۴ (L)
۰/۳۳۴۰	۰/۲۶۵۲	۰/۲۷۴۸	R _۴ (M)
۰/۷۸۵۶	۰/۹۰۰۵	۰/۸۱۲۵	R _۴ (H)

الگوریتم GuASPSO به میزان ۷۳٪ بر الگوریتم GWO و ۴۰٪ بر الگوریتم PSO در آموزش مدل فازی است. از آنجا که پیشتر الگوریتم GuASPSO قابلیت خود را در حل مسائل بهینه‌سازی بزرگ - مقیاس استاندارد و نیز در حل دو مثال کاربردی دیگر نشان داده بود، نتایج نوشتار حاضر حاضر می‌تواند بر اعتبار الگوریتم GuASPSO در حل انواع مسائل بهینه‌سازی بیافزاید. از این رو استفاده از الگوریتم GuASPSO در حل سایر انواع مسائل طراحی مهندسی تیز توصیه می‌شود.

ذرات مبتنی بر جستجوی تطبیقی هدایت شده (GuASPSO) استفاده شده است.

جهت ارزیابی کارایی هر یک از مدل‌های طراحی شده از ۹ معیار کارایی استفاده شد و نتایج نشان داد که مدل منطق فازی آموزش دیده با الگوریتم GuASPSO در هر سه مرحله: آموزش، اعتبارسنجی و در کل مجموعه‌ی داده‌ها، عملکرد کاملاً مناسب‌تری را در مقایسه با دو الگوریتم شناخته شده‌ی دیگر از خود نشان داده است. نتایج یک تحلیل چندمعیاره نیز حاکی از برتری

پانوشت‌ها

1. Rapid Visual Screening (RVS)

2. Federal Emergency Management Agency (FEMA)
3. Harirchian
4. Uncertainty
5. Tesfamarian & Saatcioglu

6. Northridge
7. Hyper Parameters
8. Guided Adaptive Search Based Particle Swarm Optimization Algorithm (GuASPSO)
9. Particle Swarm Optimization Algorithm (PSO)
10. Grey Wolf Optimization Algorithm (GWO)
11. Rezaei & Safavi
12. Kennedy & Eberhart
13. constriction coefficient
14. Exploration
15. Exploitation
16. Self-Organizing Map
17. Kohonen
18. Haykin
19. MATLAB
20. Peak Ground Acceleration (PGA)
21. GAL
22. Bold
23. Programming Compromise

منابع (References)

1. Tesfamariam, S. and Saatcioglu, M. "Risk-based seismic evaluation of reinforced concrete buildings", *Earthquake Spectra*, **24**(3), pp. 795-821 (2008).
2. Ghobarah, A. "Seismic assessment of existing RC structures progress", in *Structural Engineering and Materials*, **2**(1), pp. 60-71 (2000).
3. Tesfamariam, S. and Saatcioglu, M. "Seismic vulnerability assessment of reinforced concrete buildings using hierarchical fuzzy rule base modeling", *Earthquake Spectra*, **26**(1), pp. 235-256 (2010).
4. Bektas, N. and Kegyes-Brassai, O. "Conventional RVS methods for seismic risk assessment for estimating the current situation of existing buildings: A State-of-the-Art review", *Sustainability*, **14**(5), p. 2583 (2022).
5. F.E.M.A. (FEMA)., *FEMA P-154 Rapid Visual Screening of Buildings for Potential Seismic Hazards: A Handbook*, Applied Technological Council (ATC), Washington, DC, USA (2015).
6. Harirchian, E., Hosseini, S.E., Jadhav, K. and et al. "A review on application of soft computing techniques for the rapid visual safety evaluation and damage classification of existing buildings", *Journal of Building Engineering*, **43**, p. 102536 (2021).
7. Harirchian, E., Lahmer, T., Buddhiraju, S. and et al. "Earthquake safety assessment of buildings through rapid visual screening", *Buildandings*, **10**(3), p. 51 (2020).
8. Ketsap, A., Hansapinyo, C., Kronprasert, N. and et al. "Uncertainty and fuzzy decisions in earthquake risk evaluation of buildings", *Engineering Journal*, **23**(5), pp. 89-105 (2019).
9. Harirchian, E. and Lahmer, T. "Developing a hierarchical type-2 fuzzy logic model to improve rapid evaluation of earthquake hazard safety of existing buildings", *Structures*, **28**, pp. 1384-1399 (2020).
10. Harirchian, E. and Lahmer, T. "Improved rapid visual earthquake hazard safety evaluation of existing buildings using a type-2 fuzzy logic model", *Applied Sciences*, **10**(7), p. 2375 (2020).
11. Miyasato, G.H., Dong, W., Levitt, R.E. and et al. "Implementation of a knowledge based seismic risk evaluation system on microcomputers", *Artificial Intelligence in Engineering*, **1**(1), pp. 29-35 (1986).
12. Furuta, H., Shiraishi, N., Umano, M. and et al. "Knowledge-based expert system for damage assessment based on fuzzy reasoning", *Computers & Structures*, **40**(1), pp. 137-142 (1991).
13. Sen, Z. "Supervised fuzzy logic modeling for building earthquake hazard assessment", *Expert Systems with Applications*, **38**(12), pp. 14564-14573 (2011).
14. Allali, S.A., Abed, M. and Mebarki, A. "Post-earthquake assessment of buildings damage using fuzzy logic", *Engineering Structures*, **166**, pp. 117-127 (2018).
15. Morfidis, K. and Kostinakis, K. "Approaches to the rapid seismic damage prediction of r/c buildings using artificial neural networks", *Engineering Structures*, **165**, pp. 120-141 (2018).
16. Harirchian, E. and Lahmer, T. "Improved rapid assessment of earthquake hazard safety of structures via artificial neural networks", In *IOP Conference Series: Materials Science and Engineering*, **897**(1), p. 012014 (2020).
17. Rezaei, F. and Safavi, H.R. "GuASPSO: a new approach to hold a better exploration-exploitation balance in PSO algorithm", *Soft Computing*, **24**(7), pp. 4855-4875 (2020).
18. Kennedy, J. and Eberhart, R. "Particle swarm optimisation. 1995", In: *Proceedings IEEE International Conference on Neural Networks, IV*, IEEE Service Center, Piscataway, pp. 1942-1948 (1995).
19. Mirjalili, S., Mirjalili, S.M. and Lewis, A. "Grey wolf optimizer", *Advances in Engineering Software*, **69**, pp. 46-61 (2014).
20. Haykin, S., "Neural networks and learning machines", 3rd edn., Prentice Hall, Englewood Cliffs (2009).
21. Tesfamariam, S. "Seismic risk assessment of reinforced concrete buildings using fuzzy based techniques", PhD Dissertation, Department of Civil Engineering, University of Ottawa (2008).
22. Gharehbaghi, S., Gandomi, M., Plevris, V. and et al. "Prediction of seismic damage spectra using computational intelligence methods", *Computers & Structures*, **253**, p. 106584 (2021).
23. Kalantari, A., Hashemi, B.H., Moghadam, A.S. and et al. "Buildings damage data collection after 2017 sarpole-zahab earthquake", *SEE8 conf.* Tehran, Iran (2019).
24. Yazdi, M.H.Z., Dehkordi, M.R., Eghbali, M. and et al. "Seismic risk prioritization of steel buildings using fuzzy inference system: A case study of school buildings in selected regions of Tehran", *Amirkabir Journal of Civil Engineering*, **52**(3), pp. 733-756 (In Persian) (1399/2020).